

УДК 536.631

© 1990

## ФАЗОВЫЕ ПЕРЕХОДЫ В НЕУПОРЯДОЧЕННЫХ ИЗИНГОВСКИХ ФЕРРИТАХ

*И. Я. Коренблит, Я. В. Федоров, Хоанг Зунг*

В рамках модели с бесконечным радиусом взаимодействия между спинами получено выражение для свободной энергии и уравнения состояния фрустрированного изинговского двухподрешеточного ферримагнетика. Изучена фазовая диаграмма такой системы в магнитном поле. Показано, что в ферритах температура возвратного перехода  $T_g(H)$  может увеличиваться при приложении магнитного поля. В случае, когда можно пренебречь внутриподрешеточным взаимодействием,  $T_g$  возрастает с полем в ферримагнетиках, имеющих точку компенсации. В слабых полях  $T_g(H) - T_g(0) \sim H$ . В области пересечения линии  $T_g(H)$  и линии температур компенсации  $T_k(H)$  на фазовой  $H-T$  диаграмме имеется область, в которой неэргодичность возникает с понижением температуры скачком.

В настоящее время известно большое число ферритов, в которых обменное межподрешеточное или внутриподрешеточное взаимодействие фрустрировано [1]. В ряде работ [2-6] показано, что в таких ферритах имеет место так называемый возвратный переход из магнитоупорядоченного эргодического состояния в неэргодическое. Это состояние характеризуется большой магнитной вязкостью, зависимостью магнитных характеристик однородного образца от его предыстории, что свидетельствует о бесконечной вырожденности основного состояния [7, 8].

Переходы такого рода многократно наблюдались в ферро- и антиферромагнетиках [7, 8], и свойства неэргодического состояния в этих магнитоупорядоченных веществах исследовались как теоретически, так и экспериментально. Согласно современным теоретическим представлениям, в основу которых положена модель бесконечного радиуса взаимодействия, предложенная Шеррингтоном и Киркпатриком [9], в неэргодическом состоянии дальний магнитный порядок сохраняется. Речь на этом языке идет о переходе из состояния с отличным от нуля параметром дальнего магнитного порядка (например, намагниченностями подрешеток  $m_p$ ;  $p$  — номер подрешетки) и соответствующими параметрами Эдвардса—Андерсона  $q_p$  в состояние, в котором по-прежнему  $m_p \neq 0$ , но  $q_p$  становятся функциями введенного Паризи [16] параметра  $x$  ( $0 \leq x \leq 1$ ), характеризующими вырожденность основного состояния системы. Иными словами, выше линии перехода и на ней самой  $dq_p/dx = 0$ , а ниже этой линии  $dq_p/dx \neq 0$ . Именно это обстоятельство отличает математически магнитоупорядоченное эргодическое состояние от магнитоупорядоченного неэргодического.

Состояние, в котором дальний магнитный порядок и неэргодичность сосуществуют, часто называют смешанной фазой в отличие от фазы «чистого» спинового стекла, в котором нет дальнего порядка.

Вопрос о том, сосуществуют ли дальний магнитный порядок и неэргодичность, экспериментально исследовался во многих работах [7]. В настоящее время имеются достаточно убедительные доказательства того, что дальний магнитный порядок в соответствии с теорией мало меняется при охлаждении ниже температуры перехода  $T_g$  [11-13].

Возвратный переход в ферритах с хаотически распределенными фрустриями теоретически изучался в [14-16]. В работах Канеюши (см. [14, 15] и содержащиеся там ссылки) исследование ведется в рамках некоторого самосогласованного метода. Этот метод обладает рядом серьезных недостатков. Во-первых, сделаны некоторые произвольные допущения типа расщепления высших корреляторов на произведения низших. Во-вторых, метод принципиально не позволяет описать неэргодическое состояние, так что спиновое стекло в рамках этого метода означает просто состояние без дальнего магнитного порядка. Соответственно и возвратный переход на этом языке означает переход из магнитоупорядоченного состояния в состояние без дальнего магнитного порядка. В работе [16] анализируется фрустрированный неупорядоченный двухподрешеточный магнетик с неэквивалентными подрешетками, однако среднее значение всех взаимодействий считается равным нулю. Поэтому модель [16] не может служить для изучения «возвратных» переходов в ферритах.

Целью нашей работы является исследование фазовой диаграммы неупорядоченного изинговского феррита с фрустриями во внешнем магнитном поле. В работах [17-19] было показано, что внешнее магнитное поле подавляет антиферромагнетизм сильнее, чем неэргодичность, и поэтому область существования неэргодичности увеличивается с полем. В то же время в ферромагнетиках внешнее магнитное поле, увеличивая момент, приводит к подавлению неэргодичности. Возникает вопрос, как влияет магнитное поле на область неэргодичности ферритов, в которых, с одной стороны, имеются подрешетки с противоположно направленными моментами, а с другой стороны, спонтанный магнитный момент отличен от нуля.

В настоящей работе в рамках модели с бесконечным радиусом взаимодействия между спинами [9] получена система уравнений состояния, которая описывает статические свойства изинговского двухподрешеточного феррита с фрустриями как в эргодической, так и в неэргодической фазах. Показано, что в ферритах, как и в антиферромагнетиках, температура возвратного перехода  $T_g(H)$  может увеличиваться с магнитным полем. Если внутриподрешеточное взаимодействие фрустрировано слабее межподрешеточного, то рост  $T_g$  с полем характерен для ферритов с точкой компенсации, причем в слабом поле  $T_g$  растет с  $H$  линейно, т. е. даже быстрее, чем в антиферромагнетике.

## 1. Уравнения состояния фрустрированного феррита<sup>1</sup>

Рассмотрим изинговский феррит, в котором спины принадлежат двум подрешеткам, взаимодействие которых описывается гамильтонианом

$$\mathcal{H} = - \sum_{i,j,p} V_{ij}^p S_{pi} S_{pj} + \sum_{ij} J_{ij} S_{1i} S_{2j} - H \sum_{p=1,2} g_p \sum_{i=1}^{N_p} S_{pi}, \quad (1)$$

где  $S_{pi} = \pm S_p$ ;  $N_p$  — число спинов в  $p$ -й подрешетке ( $N_1 + N_2 = N$ ).  $H$  — внешнее магнитное поле. Внутриподрешеточные  $V_{ij}^p$  и межподрешеточное  $J_{ij}$ , взаимодействия считаются не зависящими от расстояния между спинами и распределенными по нормальному закону со средними значениями  $V_0^p/N_p$  и  $J_0/\sqrt{N_1 N_2}$  и дисперсиями  $V_0^2/N_p$  и  $J^2/\sqrt{N_1 N_2}$  соответственно.

Воспользовавшись методом реплик, получим в термодинамическом пределе  $N_p \rightarrow \infty$  свободную энергию системы в расчете на один спин

$$f = -\frac{1}{4NT} \left( \sum_p N_p V_p^2 S_p^4 + 2\sqrt{N_1 N_2} J^2 S_1^2 S_2^2 \right) - \lim_{n \rightarrow 0} \frac{1}{n} \Phi(m_p^\alpha, q_p^{\alpha\beta}), \quad (2)$$

<sup>1</sup> Результаты этого раздела получены совместно с Май Суан Ли и Ле Куаанг Нгуеном.

где  $n$  — число реплик,  $(\alpha, \beta)$  — индексы реплик,

$$\begin{aligned}\Phi(m_p^\alpha, q_p^{\alpha\beta}) = & -\frac{1}{2} \sum_{\alpha, p} c_p V_{0p} (m_p^\alpha)^2 + \mathcal{J}_0 \sqrt{c_1 c_2} \sum_\alpha m_1^\alpha m_2^\alpha - \frac{1}{2T} \sum_{p, (\alpha, \beta)} c_p V_p^2 (q_p^{\alpha\beta})^2 - \\ & - \frac{1}{2T} \sum_{(\alpha\beta)} \sqrt{c_1 c_2} \mathcal{J}^2 q_1^\alpha q_2^\beta + T \sum_p c_p \ln \text{Tr } e^L,\end{aligned} \quad (3)$$

$$L = \sum_\alpha \frac{1}{T} (Hg_p + V_{0p} m_p - \mathcal{J}_0 m_p z_p) S_p^\alpha + \sum_{\alpha\beta} S_p^\alpha S_p^\beta (V_p^2 q_p^{\alpha\beta} + \mathcal{J}^2 z_p q_p^{\alpha\beta}).$$

Здесь  $c_p = N_p/N$ ,  $z_p = (N_p/N_p)^{1/2}$ ,  $\bar{p} \neq p = (1, 2)$ , а величины  $m_p^\alpha$  и  $q_p^{\alpha\beta}$  удовлетворяют уравнениям

$$m_p^\alpha = \langle S_p^\alpha \rangle, \quad q_p^{\alpha\beta} = \langle S_p^\alpha S_p^\beta \rangle, \quad (4)$$

где угловые скобки означают усреднение с эффективным гамильтонианом  $L_p$ .

Используя параметризацию Паризи для матриц  $q_p^{\alpha\beta}$  [10], определяющих «спин-стекольный» параметр порядка, методом Дуплентье [20] получаем из (4) следующие уравнения состояния, верные как в эргодической, так и в неэргодической фазах:

$$m_p = \int dy P_p(x, y) \mathcal{M}_p(x, y), \quad q_p(x) = \int dy P_p(x, y) \mathcal{M}_p^2(x, y), \quad (5)$$

где функции  $P_p(x, y)$ ,  $\mathcal{M}_p(x, y)$  удовлетворяют системе уравнений

$$\dot{\mathcal{M}}_p(x, y) = -\frac{1}{2} \dot{Q}_p(x) \left( \mathcal{M}_p'' + \frac{2x}{T} \mathcal{M}_p \mathcal{M}_p' \right), \quad \dot{P}_p(x, y) = \frac{1}{2} \dot{Q}_p(x) \left( P_p'' - \frac{2x}{T} (P_p \mathcal{M}_p)' \right) \quad (6)$$

с граничными условиями

$$\begin{aligned}\mathcal{M}_p(1, y) &= S_p \tanh y/T, \\ P_p(0, y) &= \frac{1}{\sqrt{2\pi Q_p(0)}} \exp \left[ -\frac{(y - S_p (Hg_p + V_{0p} m_p - \mathcal{J}_0 z_p m_p))^2}{2Q_p(0)} \right].\end{aligned} \quad (7)$$

Здесь штрих означает дифференцирование по  $x$ , точка — дифференцирование по  $x$ , а  $Q_p(x) = V_p^2 S_p^2 q_p(x) + \mathcal{J}^2 z_p S_p^2 q_p(x)$ .

Из (5)–(7) аналогично работам [18, 19] можно получить так называемое соотношение маргинальности, которое выполняется во всей неэргодической фазе, пока  $q_p \neq 0$

$$\begin{aligned}\left[ 1 - V_1^2 S_1^2 \int dy P_1(x, y) (\mathcal{M}'_1(x, y))^2 \right] \left[ 1 - V_2^2 S_2^2 \int dy P_2(x, y) (\mathcal{M}'_2(x, y))^2 \right] - \\ - \mathcal{J}^4 S_1^2 S_2^2 \int dy P_1(x, y) (\mathcal{M}'_1(x, y))^2 \int dy P_2(x, y) (\mathcal{M}'_2(x, y))^2 = 0.\end{aligned} \quad (8)$$

Для случая  $S_{p_1} = S_{p_2} = 1$  выражения (5)–(8) получены в [21].

В эргодической фазе, когда  $q_p = 0$ , уравнения (5)–(7), определяющие намагниченности подрешеток  $M_p = c_p g_p m_p$  и параметры Эдвардса–Андерсона  $q_p$ , принимают вид

$$\begin{aligned}m_p = S_p \langle \tanh E_p \rangle_c, \quad q_p = S_p^2 \langle \tanh^2 E_p \rangle_c, \quad E_p = \frac{1}{T} \{ S_p (Hg_p + V_{0p} m_p - \mathcal{J}_0 z_p m_p) + z \sqrt{Q_p} \}, \\ \langle u \rangle_c = \int u(z) e^{-z^2/2} \frac{dz}{\sqrt{2\pi}},\end{aligned} \quad (9)$$

а свободная энергия в расчете на один спин равна

$$f = -\frac{1}{4T} \sum_p c_p V_p^2 (S_p^2 - q_p)^2 - \frac{1}{2T} \sqrt{c_1 c_2} \mathcal{J}^2 (S_1^2 - q_1) (S_2^2 - q_2) + \frac{1}{2} \sum_p c_p V_{0p} m_p^2 - \sqrt{c_1 c_2} \mathcal{J}_0 m_1 m_2 - T \sum_p c_p \langle \ln 2 \operatorname{ch} E_p \rangle_c. \quad (10)$$

При этом выражение (8) переходит в уравнение для температуры возникновения неэргодичности  $T_g(H)$

$$\left(1 - \frac{V_1^2}{T_g^2} S_1^4 \langle \operatorname{ch}^{-4} E_1 \rangle_c\right) \left(1 - \frac{V_2^2}{T_g^2} S_2^4 \langle \operatorname{ch}^{-4} E_2 \rangle_c\right) - \frac{\mathcal{J}^4}{T_g^4} S_1^4 S_2^4 \langle \operatorname{ch}^{-4} E_1 \rangle_c \langle \operatorname{ch}^{-4} E_2 \rangle_c = 0. \quad (11)$$

## 2. Фазовая диаграмма в слабоупорядоченном феррите

Переход из магнитоупорядоченного эргодического состояния в магнитоупорядоченное же неэргодическое имеет место, если среднее значение обменных взаимодействий достаточно велико, а именно, если выполнено неравенство  $j_0 > j$ , где

$$j = \frac{1}{\sqrt{2}} [V_1^2 S_1^4 + V_2^2 S_2^4 + \sqrt{(V_1^2 S_1^4 - V_2^2 S_2^4)^2 + 4 \mathcal{J}^4 S_1^2 S_2^2}]^{1/2},$$

$$j_0 = \frac{1}{2} [V_{01} S_1^2 + V_{02} S_2^2 + \sqrt{(V_{01} S_1^2 - V_{02} S_2^2)^2 + 4 \mathcal{J}_0^2 S_1^2 S_2^2}]. \quad (12)$$

В этом случае при температуре  $T_c = j_0$  возникает дальний магнитный порядок, а при температуре  $T_g < j < j_0$  происходит переход в неэргодическое состояние.

Аналитическое исследование зависимости температуры  $T_g$  от  $H$  возможно в случае слабо фрустрированных ферритов, когда  $j \ll j_0$ . При этом с экспоненциальной точностью можно положить  $q_p = S_p^2$ . Предполагая для определенности, что при  $T=0$  намагниченность первой подрешетки  $M_1$  больше намагниченности второй подрешетки  $M_2$ , т. е.

$$c_1 g_1 S_1 > c_2 g_2 S_2, \quad (13)$$

получим

$$T_g(H) = \frac{1}{3} \left(\frac{2}{\pi}\right)^{1/2} \left\{ A_1 + A_2 + \sqrt{(A_1 - A_2)^2 + \frac{4 \mathcal{J}^4}{V_1^2 V_2^2} A_1 A_2} \right\},$$

где

$$A_p = \frac{V_p^2 S_p^4}{(V_p^2 S_p^4 + z_p \mathcal{J}^2 S_1^2 S_2^2)^{1/2}} \exp \left[ -\frac{1}{2} \frac{(\mu_p H + V_{0p} S_p m_p - z_p \mathcal{J}_0 S_p m_p)^2}{V_p^2 S_p^4 + z_p \mathcal{J}^2 S_1^2 S_2^2} \right]. \quad (14)$$

С экспоненциальной точностью в полях  $H$ , меньших  $H_c = z_1 (\mathcal{J}_0 S_1 / g_2)$ , имеем  $m_1 = S_1$ ,  $m_2 = -S_2$ . Если же  $H > H_c$ , то  $m_1 = S_1$ ,  $m_2 = S_2$ . Ограничимся для простоты исследованием ферритов, у которых внутриподрешеточным взаимодействием можно пренебречь,  $V_{0p} = V_p = 0$ . Тогда

$$T_g(H=0) = \frac{2}{3} \sqrt{\frac{2}{\pi}} \mathcal{J} S_1 S_2 \exp \left[ -\frac{\mathcal{J}_0^2}{4 \mathcal{J}^2} (z_1 + z_2) \right],$$

$$T_g(H_c \pm 0) = \frac{2}{3} \sqrt{\frac{2}{\pi}} \mathcal{J} S_1 S_2 \exp \left[ -\frac{\mathcal{J}_0^2}{4 \mathcal{J}^2} z_2 \left( \frac{\mu_1 z_1}{\mu_2 z_2} \mp 1 \right)^2 \right], \quad \mu_p = g_p S_p. \quad (15)$$

Отсюда видно, что в поле  $H_c$   $T_g$  скачком увеличивается. Если к тому же выполнено неравенство

$$c_2/c_1 < \mu_1/\mu_2 < (c_2/c_1) [1 + \sqrt{1 + c_1/c_2}], \quad (16)$$

то  $T_g(H_c+0) > T_g(0)$ . В поле  $H > H_c$   $T_g$  всегда падает с ростом  $H$ . В слабых магнитных полях имеем  $T_g(H) = T_g(0) + \lambda_1 H + \lambda_2 H^2$ ,

$$\lambda_1 = (\mu_2 - \mu_1) \frac{\mathcal{J}_0}{2\mathcal{J}^2 S_1 S_2} T_g(0), \quad \lambda_2 = \frac{T_g(0)}{4\mathcal{J}^2 S_1^2 S_2^2} \left[ (\mu_2 - \mu_1)^2 \frac{\mathcal{J}_0^2}{2\mathcal{J}^2} - (x_1 \mu_1^2 + x_2 \mu_2^2) \right]. \quad (17)$$

Из (17) следует, что  $T_g(H)$  линейно растет с  $H$  в слабом поле, если  $c_2/c_1 < \mu_1/\mu_2 < 1$ . С другой стороны, легко показать, что при выполнении неравенства  $S_1^2/S_2^2 < c_2/c_1 < S_1/S_2$  феррит имеет точку компенсации. Сравнивая эти два неравенства и учитывая, что обычно  $g_1 \approx g_2$ , замечаем, что наличие точки компенсации является достаточным условием роста  $T_g$  с  $H$  в слабом поле. Но это условие не является необходимым — рост  $T_g$  возможен и в ферритах без точки компенсации, если  $c_2/c_1 < (S_1/S_2)^2 < S_1/S_2 < 1$ . Если же эти неравенства нарушены, то  $T_g(H)$  уменьшается с ростом поля — линейно по  $H$ , когда  $\mu_1 > \mu_2$ , и квадратично, если  $\mu_1 = \mu_2$ .

Таким образом, в слабофрустрированных ферритах ( $\mathcal{J}/\mathcal{J}_0 \ll 1$ ) внешнее магнитное поле может увеличивать область существования неэргодичности в феррите, несмотря на то, что спонтанный момент отличен от нуля. Если  $\mu_2 \neq \mu_1$ , то изменение  $T_g(H)$  в слабом поле происходит гораздо быстрее, чем в чистом спиновом стекле [22] или антиферромагнитном спиновом стекле [17].

### 3. Свойства неупорядоченных ферритов

Характер зависимости температуры возникновения неэргодичности от магнитного поля, обсуждавшийся выше, сохраняется и в ферритах с реальными значениями  $T_c(H=0)/T_g$ , если фрустрации не слишком сильные, так что  $T_g(H=0)$  меньше температуры компенсации  $T_k$ .

Как известно, на фазовый  $H-T$  диаграмме упорядоченного феррита имеется линия фазовых переходов 1-го рода  $T_k(H)$ , на которой скачком изменяется направление намагниченности подрешеток [23]. При этом в отличном от нуля поле магнитный момент также испытывает особенность. Подобное поведение характерно и для феррита с фрустрациями. На рис. 1 показана температурная зависимость намагниченности чистого феррита и феррита с фрустрациями межподрешеточного взаимодействия ( $\mathcal{J}=0.3$ ,  $\mathcal{J}_0=0.57$ ,  $V_{op}=V_p=0$ ) во внешнем поле  $H=0.1T_c$ . Видно, что в данном случае беспорядок приводит к уменьшению  $T_k(H)$ , но общий характер температурной зависимости момента такой же, как и в чистом феррите.

На рис. 2, а показана фазовая  $H-T$  диаграмма. Видно, что в слабых полях  $T_g$  растет с ростом  $H$ . С дальнейшим увеличением поля линия  $T_g(H)$  пересекает линию  $T_k(H)$ . На участке  $AB$  (рис. 2, а) температура перехода уменьшается и сам характер перехода качественно меняется: уравнение (11), описывающее непрерывный переход из эргодической фазы в неэргодическую, не имеет решения на этом участке, неэргодическая фаза возникает скачкообразно, т. е. при пересечении линии  $AB$  скачкообразно возникает отличная от нуля производная  $dq/dx$ .<sup>2</sup> При  $H \approx H_c$

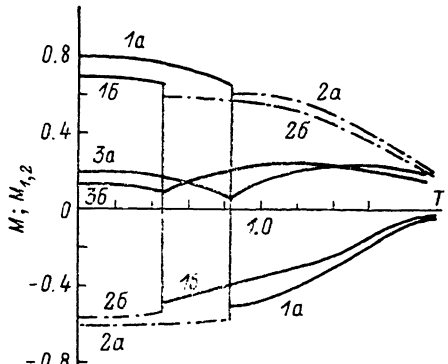


Рис. 1. Температурная зависимость моментов подрешеток  $M_1$  и  $M_2$  (1, 2) и полного момента  $M$  (3) в магнитном поле  $H=0.1T_c$  при  $V_{p2}=V_p=0$ ,  $S_1=1$ ,  $c_1=0.8$ ,  $S_2=3$ ,  $\mathcal{J}_0=0.57$ .

а — чистый феррит,  $\mathcal{J}=0$ ; б — фрустрированный феррит,  $\mathcal{J}=0.3$ .

<sup>2</sup> Следует отметить, что линия фазового перехода  $T_k(H)$  получена из условия равенства свободной энергии на фазовой границе. При этом обе фазы предполагались эргодическими. На самом деле на участке  $AB$  низкотемпературная фаза является неэргодической, так что, строго говоря, истинный ход кривой  $T_k(H)$  на этом участке несколько отличается от показанного на рис. 2.

переход снова непрерывный,  $T_g(H)$  растет с полем до полей  $H \approx H_c$ , в котором  $T_g$  достигает максимума и далее, с ростом поля, монотонно уменьшается.

По мере увеличения степени фрустрированности  $\mathcal{J}/\mathcal{J}_0$  температура  $T_g(0)$  становится больше температуры  $T_k$ . При этом характер поведения  $T_g(H)$  меняется (рис. 2, б). Хотя кривые построены при  $\mu_1/\mu_2=3$ ,  $T_g(H)$  в отличие от исследованного в предыдущем параграфе случая слабой фрустриации уменьшается с ростом поля в слабых полях. В сильно фрустрированных ферритах  $T_g(H)$  монотонно падает во всем диапазоне полей (кривая 3 на рис. 2, б).

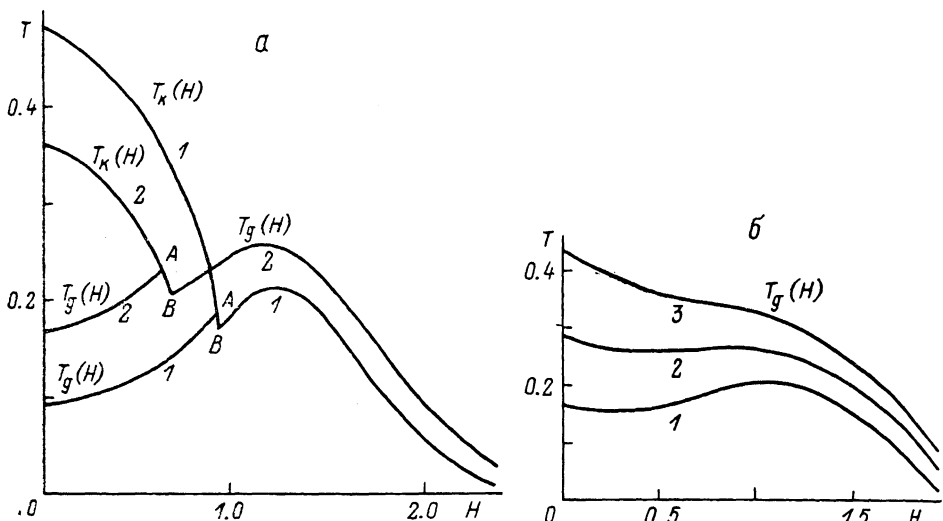


Рис. 2. Фазовая диаграмма фрустрированного феррита при  $T_g(0) < T_k(0)$ .  $V_{p_0} = V_p = 0$ ,  $S_2 = 3$ ,  $S_1 = 1$ ,  $c_1 = 0.8$  (а) и полевая зависимость температуры перехода в неэргодическое состояние при  $T_g(0) > T_k(0)$ ,  $V_{p_0} = V_p = 0$ ,  $S_2 = 3$ ,  $S_1 = 1$ ,  $c_1 = 0.8$  (б). а: 1 —  $\mathcal{J}/\mathcal{J}_0 = 1.9$ ,  $T_c/T_g = 0 = 6.4$ ; 2 —  $\mathcal{J}/\mathcal{J}_0 = 1.7$ ,  $T_c/T_g(0) = 10.0$ .  $T_k(H)$  — линия фазового перехода 1-го рода. На участке АВ эргодичность возникает скачкообразно; б: 1 —  $T_c/T_g = 0.64$ , 2 — 4.4, 3 — 3.2.

На рис. 3 показана полевая зависимость  $T_g(H)$  в феррите, у которого  $\mu_1 = \mu_2$  и нет точки компенсации. В этом случае  $T_g$  монотонно падает с ростом  $H$ .

До сих пор мы анализировали фазовую диаграмму феррита, в котором внутримагниточным взаимодействием можно пренебречь. Рассмотрим теперь феррит, у которого можно пренебречь дисперсией межподрешеточного взаимодействия (среднее  $\mathcal{J}_0$ , разумеется, отлично от нуля). Тогда, как видно из (10), уравнение для  $T_g$  распадается на два уравнения для температур  $T_{g_1}$  и  $T_{g_2}$ , при которых возникает неэргодичность соответственно в первой и второй подрешетках

$$T_{g_1}^2 = V_1^2 S_1^4 \langle \text{ch}^{-4} E_1 \rangle_c, \quad T_{g_2}^2 = V_2^2 S_2^4 \langle \text{ch}^{-4} E_2 \rangle_c. \quad (18)$$

Эти уравнения позволяют качественно понять зависимость  $T_{g_p}(H)$ . Рассмотрим феррит без точки компенсации. Пусть в нулевом поле  $M_1 > M_2$ , а  $T_{g_1}(0) < T_{g_2}(0)$ . С ростом поля момент  $M_2$  по абсолютной величине уменьшается, т. е. уменьшается полное поле (внешнее плюс молекулярное), действующее на спины второй подрешетки. Тогда из (18) следует, что  $T_{g_2}$  растет с полем до тех пор, пока не обратится в нуль момент  $M_2$ . При этом равен нулю и соответствующее полное поле, так что  $T_{g_2}$  определяется из системы уравнений

$$T_{g_2} = V_2 S_2^2 \left\langle \text{ch}^{-4} \frac{V_2 S_2 z \sqrt{q_2}}{T_{g_2}} \right\rangle_c^{1/2}, \quad q_2 = S_2^2 \left\langle \text{th}^2 \frac{S_2 V_2 z \sqrt{q_2}}{T_{g_2}} \right\rangle_c, \quad (19)$$

которая аналогична системе для определения  $T_g$  в «чистом» спиновом стекле, в котором нет дальнего магнитного порядка. Поэтому очевидно, что ее решение есть  $q_2 = 0$ ,  $T_{g_2} = V_2 S_2^2$ .

С дальнейшим ростом поля момент  $M_2$  по абсолютной величине растет и  $T_{g_2}$  падает. Момент  $M_1$  монотонно растет с полем, так что  $T_{g_1}$  уменьшается с ростом  $H$ .

Таким образом,  $T_{g_2}(H) > T_{g_1}(H)$ , поэтому переход в неэргодическое состояние происходит при  $T = T_{g_2}$  и с ростом поля область существования неэргодичности увеличивается. Если же  $T_{g_1}(0) > T_{g_2}(0)$ , то при некотором поле происходит пересечение кривых  $T_{g_1}(H)$  и  $T_{g_2}(H)$ .

Можно думать, что полученные в этой работе результаты по крайней мере частично применимы также для гейзенберговских ферритов, если внешнее поле  $H$  меньше критического поля, при котором возникает угловая фаза. Так как это критическое поле порядка молекулярного поля, то имеется широкая область полей, в которых фазовая диаграмма качественно описывается изложенной выше теорией.

В настоящее время практически нет экспериментальных работ, в которых изучалась бы зависимость  $T_g$  от магнитного поля. Такие исследования, особенно в ферритах с точкой компенсации, были бы, на наш взгляд, очень интересны.

#### Список литературы

- [1] Coey J. M. D. // Can. J. Phys. 1987. V. 65. N 10. P. 1210—1232.
- [2] Rodriguez R., Obradors X., Lobarta A., Tejoda J., Pernet M., Saint Paul M., Tholence J. L. // J. de Physique. 1988. V. 49. Coll. C8. Sup. 12. P. 1119—1120.
- [3] Zemirli M., Grenache J. M., Varret F., Lenglet M., Teillet J. // J. de Physique. 1988. V. 49. Coll. C8. Sup. 12. P. 917—918.
- [4] Muralleedhagaran K., Shrivastava J. K., Marathe U. R., Vijayaraghavan R. // J. Phys. C. 1985. V. 18. P. 5355—5359, 5897—5908.
- [5] Hubsch J., Gavoille G. // Phys. Rev. B. 1982. V. 26. P. 3815—3823.
- [6] Felner I., Nowik I. // J. Magn. Magn. Math. 1986. V. 54—57. P. 163—164.
- [7] Binder K., Young A. P. // Rev. Mod. Phys. 1986. V. 58. N 4. P. 801—976.
- [8] Коренблит И. Я., Шендер Е. Ф. // УФН. 1989. Т. 157. № 2. С. 267—310.
- [9] Sherrington D., Kirkpatrick S. // Phys. Rev. Lett. 1975. V. 35. N 26. P. 1792—1796.
- [10] Parisi G. // J. Phys. A. 1980. V. 13. N 5. P. 1887—1895.
- [11] Senoussi S., Hadjoudj S., Fourmeaux R. // Phys. Rev. Lett. 1988. V. 61. P. 1013—1016.
- [12] Wong P., von Molner S., Palstra T. T. M., Mydosh J. A., Yoshizawa H., Shapiro S. M., Ito A. // Phys. Rev. Lett. 1985. V. 55. N 19. P. 2043—2046.
- [13] Yoshizawa H., Mitsuda S., Aruga H., Ito A. // J. Phys. Soc. Jpn. 1989. V. 58. N 4. P. 1416—1426.
- [14] Kaneyoshi T. // Phys. Rev. B. 1986. V. 33. P. 7688—7699.
- [15] Kaneyoshi T. // J. Phys. Soc. Jpn. 1986. V. 55. P. 1430—1433.
- [16] Май Суан Ли // ЖЭТФ. 1989. Т. 95. № 2. С. 569—579.
- [17] Коренблит И. Я., Шендер Е. Ф. // ЖЭТФ. 1985. Т. 89. № 5. С. 1785—1795.
- [18] Коренблит И. Я., Федоров Я. В., Шендер Е. Ф. // ЖЭТФ. 1987. Т. 92. № 2. С. 710—720.
- [19] Fyodorov Ya. V., Korenblit I. Ya., Shender E. F. // J. Phys. C. 1987. V. 20. N 12. P. 1835—1839.
- [20] Duplantier J. // J. Phys. A. 1981. V. 14. N 1. P. 282—285.
- [21] Takayama H. // Progr. Theor. Phys. 1988. V. 80. N 5. P. 827—839.
- [22] De Almeida J. R. L., Thouless D. J. // J. Phys. A. 1978. V. 11. N 5. P. 983—990.
- [23] Белов К. П., Звездин А. К., Кадомцева А. М., Левитин Р. З. // Ориентационные переходы в редкоземельных магнетиках. М., 1979.

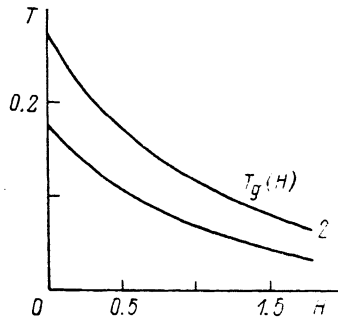


Рис. 3. Полевая зависимость температуры перехода в неэргодическое состояние для феррита без точки компенсации.  $S_1 = S_2$ ,  $\beta_0 = 1.7$ ,  $\beta = 1$  (1) и  $1.1$  (2).